

Controller Design for Hyper-Redundant Manipulator Using Backbone Curve

Seyed Reza Ahmadzadeh^a, Mohamad Ali Hajabasi^a

^a*Mechanical Engineering Dept., Shahid Bahonar University of Kerman, Kerman, Iran*

Abstract

Hyper-redundant manipulators have many degrees of freedom that enables them to enter and move in constrained environments while avoiding obstacles. In order to maintain an effective control of the system, the manipulator dynamics have to be constrained. Handling the complicated dynamics equation is one of the reasons that the real-time control of the hyper-redundant manipulator is a challenging task. In this paper, we introduce a novel dynamics system representation for hyper-redundant robots and then design a corresponding controller for the system. The manipulator dynamics is constructed in posture space and only depends on three parameters. A path-tracking controller is then designed for the obtained model. The proposed framework is validated through several experiments in simulation.

Keywords: Hyper-Redundant, Control, Dynamic, Robot, Manipulator

*In Proc. 8th International Conference of Mechanics, Tarbiat Modares University, Tehran, Iran, May 2003.

Email addresses: seyedreza_ahmadzadeh@yahoo.com (Seyed Reza Ahmadzadeh), hajabasi@mail.uk.ac.ir (Mohamad Ali Hajabasi)

طراحی کنترل کننده برای بازوی مکانیکی ابرافزونه‌ای با استفاده از منحنی قامت

سیدرضا احمدزاده^۱، محمدعلی حاج‌عبّاسی^۲

بخش مهندسی مکانیک - دانشکده فنی - دانشگاه شهید باهنر کرمان

Email: akef_1978@yahoo.com

چکیده

بازوهای ابرافزونه‌ای دارای تعداد زیادی درجه آزادی سینماتیکی هستند که به آنها امکان ورود و حرکت در محیطهای مقید، بدون برخورد با موانع را می‌دهد. برای کنترل چنین سیستمی باید دینامیک آنرا مقید کرد و به همین دلیل است که کنترل زمان-حقیقی سیستم کاری دشوار است. در این مقاله ضمن معرفی مدلی مناسب برای دینامیک سیستم بازوی ابرافزونه‌ای، به طراحی کنترل کننده آن پرداخته می‌شود. مدلسازی دینامیک سیستم بازوی ابرافزونه‌ای بر پایه فضایی قراردادی به نام فضای پاسچری که تنها به سه متغیر متکی است، انجام می‌شود و سپس کنترل کننده‌ای جهت تعقیب مسیر، برای بازوی ابرافزونه‌ای طراحی می‌گردد. در انتها برای بررسی نتایج، شبیه سازی کامپیوتری برای سیستم انجام می‌شود.

واژه‌های کلیدی: ابرافزونه‌ای - کنترل - دینامیک - روبات - بازوی مکانیکی

مقدمه

در مجموعه‌های صنعتی و یا حتی تحقیقاتی امروزی، برای غلبه بر بعضی محدودیتها و ایجاد زمینه مناسبتر برای کاربرد روباتها، موضوع افزایش تعداد درجات آزادی مورد توجه قرار گرفته است. اما باید دانست که، هرگاه تعداد درجات آزادی سیستمی از حداقل تعداد درجات آزادی مورد نیاز آن بیشتر باشد، آن سیستم دارای افزونگی درجات آزادی می‌باشد. به عنوان نمونه در یک فضای سه بعدی تعداد درجات آزادی معمول برای تعیین موقعیت و جهتگیری برابر با شش است و بازویی با هفت مفصل در این فضا دارای یک درجه افزونگی خواهد بود. حال اگر تعداد درجات آزادی سینماتیکی سیستمی بسیار زیاد و یا نامحدود باشد، به آن سیستم، ابرافزونه‌ای گویند. مبحث بازوهای مکانیکی ابرافزونه‌ای که تعداد درجات آزادی سینماتیکی

آنها از حداقل تعداد مورد نیاز بسیار بیشتر است، برای دستیابی به سیستمهای روباتیک پویاتر، مطرح شده است. هرچند افزایش تعداد درجات آزادی سینماتیکی باعث ایجاد پیچیدگی در محاسبات مربوط به چنین سیستمهایی می‌گردد، اما برخورداری از قابلیت‌های چشمگیری چون، آزادی عمل فوق‌العاده و حرکت در محیطهای مقید، محققان را برآن داشته است تا با ارائه و اعمال روشهای گوناگون علمی، به مقابله با مشکلات مربوط به محاسبات چنین سیستمهایی بپردازند. از همین رو در یک دهه اخیر برای توسعه و استفاده از روباتهای ابرافزونه‌ای تلاشهای گسترده‌ای به عمل آمده است و اگرچه قدمت کارهای انجام شده در این زمینه، توسط اندرسن (Andeson) و هورن (Horn)، به اواخر دهه ۱۹۶۰ بازمی‌گردد [۱]، اما رشد و شکوفایی این موضوع در یک دهه اخیر چشمگیرتر است. توجه به سابقه موضوع روباتهای ابرافزونه‌ای از نظر نامگذاری نیز مشخص می‌سازد که در شروع عصر این روباتها، همواره نامگذاری چنین سیستمهایی براساس کاربرد و قابلیت‌های خاص آنها انجام گرفته است. به عنوان

۱- دانشجوی کارشناسی ارشد

۲- استادیار

نمونه نامهایی چون، بازوی تانسوری (tensor-arm)، گردن قو (swan'-sneck)، شاخک (tentacle)، خرطوم فیل (elephant-trunk)، ریسمان گنشگر (active-cord)، مارگونه (snake-like)، ستون فقرات (spine) [۶ - ۷]، برای معرفی روباتهای ابرافزونه‌ای به کار گرفته شده‌اند. پس از چندی واژه (hyper-redundant) توسط چیریکیجیان (Chirikjian) و بردیک (Burdick) برای اولین بار به منظور معرفی این دسته از روباتها به کار برده شد [۷] که بعدها جایگزینی مناسب برای سایر کلماتی که کاربرد موردی داشتند، گردید و عبارت ابرافزونه‌ای که در این مقاله مکرراً به کار می‌رود، به عنوان معادلی برای این عبارت در زبان فارسی در نظر گرفته شده است.

تحقیقات زیاد و متنوعی درمورد روباتهای ابرافزونه‌ای انجام شده است که زمینه این تحقیقات را می‌توان به چند شاخه کلی تقسیم کرد، که این شاخه‌ها عبارتند از: ۱- طرح و ساختار هندسی، ۲- سینماتیک و سینماتیک معکوس، ۳- دینامیک، ۴- کنترل و بهینه‌سازی.

قطعاً یکی از مهمترین زمینه‌های علمی و تحقیقی در برخورد با فناوری روباتهای ابرافزونه‌ای، دستیابی به شیوه کنترل زمان- حقیقی آنها است و روباتهای ابرافزونه‌ای با قابلیت‌های برخاسته از ماهیت ذاتی‌شان می‌توانند مزایای زیادی در صنعت و علوم مختلف ایجاد نمایند، اما این امر تنها هنگامی ممکن می‌گردد که کنترل چنین سیستمهایی مقدور و ممکن باشد. همچنین واضح است که تعداد درجات آزادی زیاد مشخصاً بحث کنترل این روباتها را با پیچیدگی مواجه خواهد کرد. بنابراین برای پرداختن به چنین مبحثی، در اختیار داشتن اطلاعات کافی درمورد روشهای کنترل کلاسیک و مدرن و دیگر شاخه‌های ذکر شده در بالا مورد نیاز محققین است. از آنجا که هدف از ارائه این مقاله، پیش نهادن گامی در جهت طراحی کنترل کننده‌ای برای بازوهای مکانیکی ابرافزونه‌ای می‌باشد، لذا در ابتدا بطور مختصر درمورد هریک از شاخه‌های چهارگانه فوق، مروری بر کارهای گذشته ارائه می‌گردد.

در اولین برخورد با روباتهای ابرافزونه‌ای بحث ساختار هندسی سیستم مطرح می‌شود. روباتهای ابرافزونه‌ای می‌توانند دارای ساختارهای هندسی مختلفی باشند که گوناگونی ساختارها، منجر به ایجاد قابلیت‌های متنوعی در

این سیستمها می‌شود. ساختار این روباتها می‌تواند شامل اجزای پنیوماتیک، زنجیره‌ای سری شامل تعداد زیادی رابط صلب، ساختار هندسی متغیر و غیره باشند. یک گام مهم در تحلیل رباتهای ابرافزونه‌ای شناسایی سینماتیک معکوس سیستم است که چنین معلوماتی در برخی از فرآیندهای کنترلی به کار گرفته می‌شود. دستیابی به چنین دانشی تنها با شناخت و بررسی روشهای سودمند سینماتیکی، ممکن می‌گردد. روشها و الگوریتمهای مختلفی برای حل سینماتیک معکوس ارائه شده‌اند که هریک دارای معایب و مزایای خاص خود بوده، و از بین آنها می‌توان به روشهایی چون: کاربرد معکوس کاذب ژاکوبین، کاربرد معکوس گسترده ژاکوبین، و کاربرد معکوس افزوده ژاکوبین، اشاره کرد. به عنوان نمونه استفاده از کاربرد معکوس کاذب ژاکوبین، یکی از روشهای مورد استفاده در طراحی سیستم کنترل مسیر برای بازوی ابرافزونه‌ای است که در این روش از معنای کمترین مربعات در هر نقطه، استفاده می‌شود. کلین (Klain) و هوانگ (Huang) نگرشی جامع را بر این روش ارائه کرده‌اند [۸]. برای کنترل سیستم با استفاده از مدل دینامیکی، فرموله کردن دینامیک مسئله امری حیاتی به شمار می‌رود. دینامیک بازوهای ابرافزونه‌ای برای اولین بار توسط چیریکیجیان به صورت ماکروسکوپی فرموله شد [۹-۱۰]. وی برای فرموله کردن سیستم از ماهیت مکانیک محیطهای پیوسته استفاده کرد و بطور تقریبی سیستم را فرمول بندی کرد. اما شوگن ما (S.Ma)، واتانابه (Watanabe) و کندو (Kondo) در روش دیگری برای فرموله کردن دینامیک سیستم بطور پارامتریزه شده از گشتاور مفاصل در فضای موقعیت به عنوان پارامتر سود جستند [۱۱].

پس از فرموله کردن دینامیک سیستم، گام نهایی یعنی فرایند کنترل سیستم پیش رو قرار می‌گیرد. اما همانطور که قبلاً گفته شد، کنترل سیستمی دارای افزونگی درجات آزادی، کار ساده‌ای نیست. اما می‌توان روشهایی جهت ساده‌سازی مسئله کنترل به کاربرد، بدون اینکه به مقدار زیادی از قابلیت‌های سیستم کاسته گردد. یکی از راههای ساده‌سازی مسئله کنترل بازوی مکانیکی ابرافزونه‌ای، افزودن قیودی مناسب به دینامیک سیستم است. ایجاد قید، در مسئله بازوی ابرافزونه‌ای، معادلات دینامیک

مولفه‌های $x_1(s,t), x_2(s,t)$ هستند. لازم به ذکر است که برای پارامتریزه کردن منحنی قامت استفاده از شیوه‌ای که با حداقل کمیات مرتبط باشد بیشتر مورد توجه است. این شیوه که بیان ذاتی نامیده می‌شود در قیاس با شیوه غیرذاتی از ارجحیت برخوردار است. زیرا در شیوه ذاتی با تغییر دستگاه مختصات کارترین، معادلات سیستم ناورد و دستخوش تغییر اساسی نمی‌شوند در حالیکه در شیوه‌های غیر ذاتی در نظر گرفتن قیود مرتبط به بازوی مکانیکی روبات مانند قید مکان مچ، قابل تحمیل نیست. در شیوه ذاتی تنها خمیدگی منحنی برای تبیین منحنی، کفایت می‌کند. با توجه به شکل‌پذیری منحنی قامت با گذشت زمان و تابع خمیدگی، برای منحنی قامت به شکل زیر تعریف می‌شود:

$$\kappa(s) = \frac{2\pi}{l} \left(a_1 \cos\left(\frac{2\pi}{l}s\right) + a_2 \sin\left(\frac{2\pi}{l}s\right) \right) \quad (۱)$$

که در رابطه بالا a_1, a_2 ضرایبی متغیر با زمان، برای تعریف تابع خمیدگی، s فاصله هر نقطه روی منحنی از مبدا و l طول منحنی است که با طول بازو برابر می‌باشد. اگر بر هر نقطه از منحنی خطی مماس شود، زاویه حاصل از آن، زاویه شیب نامیده می‌شود که از انتگرال گیری بر روی طول منحنی حاصل می‌گردد:

$$\begin{aligned} \alpha(s) &= \alpha_0 + \int_0^s \kappa(u) du \\ &= \alpha_0 + a_1 \sin \frac{2\pi}{l}s - a_2 \cos \frac{2\pi}{l}s + a_2 \end{aligned} \quad (۲)$$

با انتگرال گیری از تصاویر معادله زاویه شیب در طول بازو می‌توان مختصات انتهایی آن یعنی مختصات مچ را بدست آورد:

$$\begin{aligned} x(l) &= \int_0^l \cos(\alpha(s)) ds \\ &= \cos(a_2 + \alpha_0) J_0 \left(\sqrt{a_1^2 + a_2^2} \right) l \end{aligned} \quad (۳)$$

$$\begin{aligned} y(l) &= \int_0^l \sin(\alpha(s)) ds \\ &= \sin(a_2 + \alpha_0) J_0 \left(\sqrt{a_1^2 + a_2^2} \right) \end{aligned} \quad (۴)$$

که α_0 زاویه شیب اولیه نسبت به محور طولها در مبدا، بازو، و J_0 تابع بسل مرتبه صفر است. با توجه به روابط بالا تا هنگامی که مختصات انتهایی بازو مشخص بوده و زاویه شیب اولیه معلوم باشد، با حل

سیستم را ساده‌تر کرده و امکان ارائه و طرح روشهای مختلف طراحی کنترل کننده را به سادگی فراهم می‌آورد. در این مقاله از رهیافتی که بر مبنای دیدگاه مودال پایه‌ریزی شده است استفاده می‌شود. هدف اصلی در این مقاله، بکارگیری دیدگاه مودال، جهت طراحی کنترل کننده‌ای برای بازوی ابرافزونه‌ای است، که برای پرداختن به آن باید در ابتدا منحنی قامت تعریف شود. لازم به ذکر است که تمام موارد ارائه شده در این مقاله محدود به فضای کاری دوبعدی می‌باشند.

منحنی قامت

برای تشریح و تحلیل وضعیت سینماتیکی بازوی ابرافزونه‌ای، در ابتدا باید به مدلسازی سیستم پرداخت. برای مدلسازی چنین سیستمی، بدون اینکه از ماهیت مکانیکی آن کاسته شود، تعریف یک منحنی پیوسته به گونه‌ای که با عبور از مراکز هندسی هریک از رابط‌های مربوط به بازوی مکانیکی گویای پیکربندی کلی آن باشد کارساز است. بنابراین در ابتدا منحنی قامت، تعریف می‌شود. منحنی قامت: عبارتست از یک منحنی هموار تا حد لزوم، که بر مراکز هندسی رابط‌های بازوی مکانیکی ابرافزونه‌ای انطباق یافته و شکل‌پذیری آن با زمان برای بیان خصوصیات کلی در هندسه یا پیکر بندی بازوی مکانیکی ابرافزونه‌ای کفایت می‌کند. همانگونه که تداعی می‌شود استفاده از نکات کلاسیک در بحث منحنی‌ها و هندسه دیفرانسیل برای فرموله کردن سینماتیک منحنی قامت کارساز است و ذکر آنها به فهم مطالب خواهد افزود، معهدا برای اجتناب از اطاله کلام تنها نکاتی که ضروری هستند آورده می‌شوند.

فرموله کردن سیستم مورد نظر

توجه به این نکته ضروری است که موقعیت هر نقطه از منحنی قامت با گذشت زمان تغییر می‌کند. لذا برای پارامتریزه کردن منحنی مذکور در مختصات کارترین، تابع برداری به شکل کلی $\mathbf{X}(s,t)$ معرفی می‌شود که در آن s پارامتر اندازه‌گیری فاصله در طول منحنی و t زمان می‌باشد. در فضای سه بعدی کارترین، مولفه‌های این تابع برداری $x_1(s,t), x_2(s,t), x_3(s,t)$ و در فضای دو بعدی

زاویه شیب اولیه در روابط (۶)، زاویه مفاصل بازوی ابرافزونه‌ای در هر لحظه از زمان مشخص می‌گردند. اکنون با معلوم بودن مسیر حرکت هر مفصل از بازو، می‌توان سرعت و شتاب همان مفصل را در اختیار داشت. و همین معلومات برای اعمال گشتاور مناسب به هر مفصل، برای کنترل کل سیستم کافی است. در ادامه لازم به ذکر است که روش فوق در بوجود آوردن امکان کنترل زمان- حقیقی بازوی ابرافزونه‌ای، با افزایش سرعت محاسباتی، نقش بسزایی دارد [۱۱].

تعریف فضای موقعیت برای بازوهای ابرافزونه‌ای

در برخورد با مسئله بازوهای ابرافزونه‌ای با درجات بزرگ آزادی سینماتیکی‌شان، لزوم معرفی فضایی که ترسیم حرکت بازو در آن ممکن باشد، ضروری می‌نماید. همانطور که قبلاً دیده‌شد، تا هنگامی که به دیدگاه منحنی قامت پایبند باشیم، موقعیت بازو توسط سه متغیر مشخص می‌گردد. از بین این سه متغیر، a_1, a_2 مشخصاً در پیکربندی فضای موقعیت، سهمیم خواهند بود. اما برای افزایش فضای کاری بازو، مقدار ثابت α_0 نیز به عنوان یکی از پارامترهای این فضا منظور می‌گردد. به عبارت دیگر، با افزودن این پارامتر، برای تشکیل فضای موقعیت، از محدودیتی که در تعریف تابع منحنی قامت وجود دارد، کاسته می‌شود. بنابراین فضای موقعیت (a_1, a_2, α_0) عبارت است از، فضایی که بتوان، تمام موقعیت‌های ممکن برای بازوی ابرافزونه‌ای را در آن گنجاند؛ و مبداء این فضا را می‌توان بطور دلخواه در موقعیت $(a_1 = 0, a_2 = 0, \alpha_0 = 0)$ قرار داد، طوری که در این وضعیت، انتهای بازوی مکانیکی به موازات محور طولها قرار گرفته باشد. با توجه به موارد بالا، برای منحنی قامت حاصل از حرکت بازو در ازای گذر هر لحظه از زمان، یک نقطه معادل در فضای موقعیت، وجود دارد. اعمال نگرش فضای موقعیت، در تحلیلهای کنترلی آینده بدین شکل است که، کنترل‌کننده بازو را وادار به تعقیب مسیری مشخص در فضای موقعیت کند و این فضا خود دربرگیرنده تمام جزئیات حرکت سیستم است.

معادلات (۳) و (۴) می‌توان ضرایب a_1, a_2 را بدست آورد و در نتیجه، تابع خمیدگی مربوط به هر نقطه انتهایی، برای بازو بدست می‌آید. روابط معکوس عبارتند از:

$$a_2 = \tan^{-1}(y(l)/x(l)) - \alpha_0$$

$$a_1 = \left(\left[J_0^{-1} \left((x(l)^2 + y(l)^2)^{\frac{1}{2}} / l \right) \right]^2 - a_2^2 \right) \quad (5)$$

که در رابطه بالا J_0^{-1} بیانگر معکوس محدود تابع بسل مرتبه صفر است. همانطور که دیده می‌شود، منحنی قامت دارای سه متغیر a_1, a_2, α_0 است، که از این میان متغیر α_0 که همان شیب اولیه می‌باشد، تنها در ابتدای حرکت قابل تغییر است و دو متغیر دیگر با حرکت بازوی ابرافزونه‌ای در هر لحظه تغییر می‌کنند. با محدود و مشخص کردن رفتار بازو توسط منحنی قامت، می‌توان موقعیت بازو را تحت کنترل داشت و نیز با در اختیار داشتن زاویه خط مماس بر منحنی قامت در مرکز هر رابط، زاویه هریک از مفاصل بازوی ابرافزونه‌ای، چنین حاصل می‌شوند:

$$q_1 = \alpha \left(\frac{L}{2} \right) = a_1 \sin \left(\frac{\pi}{n} \right) + a_2 \left(1 - \cos \left(\frac{\pi}{n} \right) \right) + \alpha_0$$

$$q_i = \alpha \left(\left(i - 1 + \frac{1}{2} \right) L \right) - \alpha \left(\left(i - 1 - \frac{1}{2} \right) L \right) \quad (6)$$

$$= a_1 \left[\sin \left(\frac{\pi}{n} (2i - 1) \right) - \sin \left(\frac{\pi}{n} (2i - 3) \right) \right] - a_2 \left[\cos \left(\frac{\pi}{n} (2i - 1) \right) - \cos \left(\frac{\pi}{n} (2i - 3) \right) \right]$$

در روابط بالا، q بیانگر زاویه مفصل، $i = 2, 3, \dots, n$ ، برابر با تعداد رابطهای بکار رفته در ساختار روبات ابرافزونه‌ای، و L طول هر رابط است که با مقدار l/n برابر است. توجه به این نکته ضروری است که، با اعمال این روش که ساختاری گسسته دارد به منحنی پیوسته قامت، خطای موقعیت مچ، در عمل، مقداری کوچک و قابل چشمپوشی خواهد بود. همانطور که دیده شد، با در اختیار داشتن معادله مسیری که باید توسط مچ ربات تعقیب شود، یعنی با داشتن $(x(l), y(l))$ در هر لحظه، و جایگذاری نقطه به نقطه این مسیر در روابط (۵) مقادیر a_1, a_2 در هر لحظه از زمان بدست می‌آیند. با جایگذاری این مقادیر و

دینامیک مسئله

ازاینرو که معادلات دینامیکی سیستم، باید شامل مؤلفه‌های، زاویه، سرعت و شتاب مفاصل باشد، لذا کارآیی رابطه (۶) به وضوح دیده می‌شود و این رابطه را می‌توان به شکل خلاصه‌شده زیر بازنویسی کرد:

$$\ddot{\vec{q}} = \vec{q}(\ddot{\vec{\lambda}}) \quad (۷)$$

که در رابطه (۷)، تمام معادلات به شکل توابعی از متغیرهای تعریف شده در فضای موقعیت (پاسچری)، خواهند بود. برای محاسبه سرعت مفاصل با مشتق‌گیری رابطه (۷) نسبت به زمان، خواهیم داشت :

$$\dot{\vec{q}} = \tilde{J}_{\lambda} \dot{\vec{\lambda}} \quad (۸)$$

و نیز با مشتق‌گیری مجدد نسبت به زمان روابط مربوط به شتاب عبارتند از:

$$\ddot{\vec{q}} = \tilde{J}_{\lambda} \ddot{\vec{\lambda}} + \dot{\tilde{J}}_{\lambda} \dot{\vec{\lambda}} \quad (۹)$$

که در روابط بالا $J_{\lambda} \in \mathbb{R}^{n \times 3}$ نمایانگر ماتریس ژاکوبین است که اعضای آن از رابطه $\tilde{J}_{\lambda}(i, j) = \partial \ddot{q}_i / \partial \ddot{\lambda}_j$ محاسبه می‌شوند و عبارتند از:

$$J_{\lambda}(i, 1) = \begin{cases} \sin\left(\frac{\pi}{n}\right) & i = 1 \\ \sin\left(\frac{\pi}{n}(2i-1)\right) & i = 2, \dots, n \\ -\sin\left(\frac{\pi}{n}(2i-3)\right) & \end{cases} \quad (۱۰)$$

$$J_{\lambda}(i, 2) = \begin{cases} \left(1 - \cos\left(\frac{\pi}{n}\right)\right) & i = 1 \\ \cos\left(\frac{\pi}{n}(2i-3)\right) & i = 2, \dots, n \\ -\cos\left(\frac{\pi}{n}(2i-1)\right) & \end{cases}$$

$$J_{\lambda}(i, 3) = \begin{cases} 1 & i = 1 \\ 0 & i = 2, \dots, n \end{cases}$$

همانطور که دیده می‌شود تمام اعضای ماتریس ژاکوبین ثابت و نامتغیر با زمان می‌باشند و ازاین رو مشتق ماتریس ژاکوبین، برابر با صفر خواهد بود و بنابراین رابطه (۹) چنین اصلاح می‌شود:

$$\ddot{\vec{q}}(\lambda, \ddot{\lambda}) = \tilde{J}_{\lambda} \ddot{\vec{\lambda}} \quad (۱۱)$$

در رابطه (۱۱) می‌توان دید که شتاب مفاصل، مستقل از سرعتشان می‌باشند. در نهایت معادله دینامیک سیستم به

شکل کلی زیر نوشته می‌شود:

$$\ddot{\vec{\tau}} = \tilde{M}(\vec{q})\ddot{\vec{q}} + \tilde{C}(\vec{q}, \dot{\vec{q}}) + \tilde{g}(\vec{q}) \quad (۱۲)$$

که در معادله (۱۲)، $\vec{\tau} \in \mathbb{R}^n$ بردار گشتاور مفاصل، $\tilde{M} \in \mathbb{R}^{n \times n}$ ماتریس جرم، $\tilde{C} \in \mathbb{R}^n$ ماتریس نیروهای کریولیس و $\tilde{g} \in \mathbb{R}^n$ ماتریس نیروهای گرانشی را نشان می‌دهند که معادله برابر با گشتاوری است که برای تعقیب مسیر باید به مفاصل وارد شود. پس از اعمال روابط تبدیل کننده به معادله (۱۲)، تعداد معادلات دینامیک سیستم به تعداد متغیرهای فضای موقعیت کاهش می‌یابد، که این امر در فرایند کنترل بازو نقشی بسزا خواهد داشت.

کنترل بازوی مکانیکی

همانطور که گفته شد یکی از روشهای موجود در برخورد با مسئله کنترل بازوی ابرافزونه‌ای اعمال قیودی مناسب به دینامیک سیستم است، اما افزودن قیود مختلف اثرات گوناگونی نیز برسیستم دارد و لذا باید مناسبترین قید را انتخاب کرده و بکار برد. بهترین قید عبارتست از قیدی که بدون اعمال تغییراتی قابل توجه در ماهیت کلی سیستم، معادلات دینامیک سیستم را ساده‌تر کند. یکی از روشهای موجود، روش مودال نام دارد. با اعمال چنین روش و دیدگاهی به مسئله، و تعیین تعداد مدها، بازوی ابرافزونه‌ای مقید به حرکت تحت مدهای مشخصی گشته و تعداد متغیرها در معادلات دینامیک بازو به تعداد مدهای در نظر گرفته شده برای سیستم کاهش می‌یابد. به عنوان نمونه اگر تنها دو مد مجاز برای حرکت بازو در نظر گرفته شود، معادلات دینامیک بازو با هرچند رابط، با معادلات بازوی دو رابطی مشابه می‌گردد. همانطور که انتظار می‌رود تمام روشهای طراحی کنترل کننده برای بازو با دو رابط در مورد بازوی ابرافزونه‌ای مقید به دو مد صادق می‌باشند. برای بررسی تحقق این موضوع یکی از این روشها برای هر دو سیستم آزمایش می‌شود. در ابتدا مسئله کنترل بازوی دارای دو رابط یا همان آونگ وارون دوگانه مورد بررسی قرار می‌گیرد [۱۴-۱۲]. این سیستم با رفتار دینامیکی شناخته شده یکی از معروفترین سیستمهای غیرخطی در زمینه کنترل است. چراکه طی دهه‌های گذشته تقریباً تمام روشهای کنترلی اعم از طراحی کنترل کننده، تحلیل پایداری، روشهای بهینه‌سازی و غیره بر آن اعمال شده است

MATLAB آماده شده است. نتایج اعمال بار اولیه پله واحد بر زوایای θ_1, θ_2 و صفر بودن سایر ورودی‌های سیستم نیز در شکل (۴) دیده می‌شود و همانطور که مشخص است سیستم پاسخ خوبی به اعمال ورودی اولیه داده و مسیر را به خوبی تعقیب می‌کند. نتایج حاصله، با بسیاری از مراجع موجود قابل مقایسه می‌باشند [۱۴].

با انجام محاسبات و آزمایش روشهای ذکر شده بر سیستم بازویی دارای افزونگی درجات آزادی و با تعداد مشخصی رابط، می‌توان کارایی روش مودال را بر سیستم بازوی ابرافزونه‌ای آزمود. به عنوان نمونه در اینجا از بازویی با چهار رابط در فضای کاری دوبعدی استفاده می‌شود. همانطور که گفته شد چنین سیستمی دارای دو درجه افزونگی می‌باشد. در ابتدا با استفاده از رابطه لاگرانژ چهار معادله دینامیک سیستم بدست می‌آید. (به علت گستردگی معادلات از ذکر آنها در این مقاله صرفنظر شده است)، سپس برای انجام تبدیل و قیدگذاری ماتریس ژاکوبین توسط رابطه (۱۰) برای سیستم با فرض $\alpha_0 = 0$ ، محاسبه می‌شود و با جایگذاری آن در معادلات (۷) و (۸) و (۱۱) معادلات دینامیک سیستم حاصل می‌شوند. با انجام محاسبات مربوطه دو معادله مشابه با معادلات آونگ وارون دوگانه به دست می‌آید. در آونگ وارون دوگانه متغیرها همان زوایای سیستم θ_1, θ_2 بوده ولی در بازوی ابرافزونه‌ای متغیرها مدهای سیستم a_1, a_2 هستند. این معادلات تبدیل یافته سیستم عبارتند از:

$$\begin{aligned} \ddot{M}^*(q)\ddot{q} + \tilde{C}^*(q, \dot{q}) + \tilde{g}^*(q) &= \ddot{Q}_p^* \\ M_{11}^* &= m_{11}/2 + 2m_{33} - 2m_{13} \\ M_{12}^* = M_{21}^* &= 0.207m_{11} - 0.414m_{13} \\ &+ m_{12} - 2m_{32} - m_{14} + 2m_{34} \\ M_{22}^* &= 0.085m_{11} + 2m_{22} + 2m_{44} + \\ &0.828m_{12} - 0.828m_{14} - 4m_{24} \\ C_{11}^* &= c_{12} - 2c_{32} - c_{14} + 2c_{34} - 0.414c_{31} \\ C_{21}^* &= -C_{11}^* \\ g_{11}^* &= 0.707g_{11} - 1.414g_{31} \\ g_{21}^* &= 0.293g_{11} + 1.414g_{21} - 1.414g_{41} \end{aligned} \quad (15)$$

بدلیل تشابه معادلات دینامیک دو سیستم تمام موارد ذکر شده برای آونگ وارون دوگانه را می‌توان مجدداً تکرار کرد و تنها با جایگزین کردن ضرایب جدید در نمودار بلوکی

و از آنجا که رفتار چنین سیستمی کاملاً شناخته شده است، لذا با آزمایش و اجرای روشهای جدید طراحی کنترل کننده درمورد آن، می‌توان کارایی روشهای جدید را آزمود. شمائی از این سیستم در شکل (۱) دیده می‌شود. با اعمال معادلات لاگرانژ می‌توان معادلات دینامیک سیستم را به شرح زیر نوشت:

$$\ddot{M}(\theta)\ddot{\theta} + \tilde{C}(\theta, \dot{\theta}) + \tilde{g}(\theta) = \ddot{Q} \quad (13)$$

همانطور که گفته شد، طراحی کنترل کننده برای چنین سیستمی را می‌توان به روشهای بسیار زیادی انجام داد. در اینجا به منظور طراحی کنترل کننده تعقیب مسیر در ابتدا از روش مدل پایه برای حذف جملات غیرخطی موجود در معادلات سیستم و دستیابی به مدل پایه سیستم، استفاده می‌شود و سپس برای این مدل پایه با استفاده از روش کلاسیک جابدهی قطب یک کنترل کننده PD برای تعقیب مسیر طراحی می‌گردد، هرچند که می‌توان از روشهای بسیار زیاد دیگری هم سود جست. در روش مدل پایه با حذف عملی غیرخطی کننده‌ها از دینامیک سیستم به شکل جبرانی، معادلات دینامیک به حالت خطی سیستم پایه رسانیده می‌شوند و همانطور که در شکل (۳) دیده می‌شود با حذف غیرخطی کننده‌ها، دو سیستم خطی حاصل می‌گردد. قابل ذکر است که انجام این عمل به معنای نادیده گرفتن جملات غیرخطی در سیستم نبوده و اثر این جملات همواره در سیستم لحاظ می‌گردد. برای طراحی کنترل کننده تعقیب مسیر باید سیگنال خطای سیستم را تصحیح کرده و خطا را به صفر رسانید بنابراین ضرایب بهره کنترل کننده بر سیگنال خطا اعمال می‌شوند که در نهایت برای سیستم مدل پایه معادله زیر حاصل می‌گردد:

$$\ddot{e} + K_v \dot{e} + K_p e = 0 \quad (14)$$

که در معادله بالا e سیگنال خطا برابر با $e = \theta_d - \theta$ و K_p, K_v ماتریسهای بهره کنترل کننده هستند. برای بدست آوردن این دو ماتریس قطری از روش جابدهی قطب استفاده شده است. در این مورد قطبهای سیستم را به مکانی انتقال می‌دهیم که تعقیب مسیر با ویژگیهای خوبی ممکن گردد. برای مقادیر $m_1 = m_2 = 1kg$ و $l_1 = l_2 = 1m$ ضرایب $k_v = 14, k_p = 100$ حاصل شده‌اند. همانطور که در شکل (۳) دیده می‌شود نمودار بلوکی شبیه‌سازی شده سیستم با استفاده از نرم‌افزار

شبیه‌سازی و آزمایش گردیده است و نتایج حاصله نشان دهنده کارایی این روش بر بازوهای ابرافزونه‌ای است.

مراجع

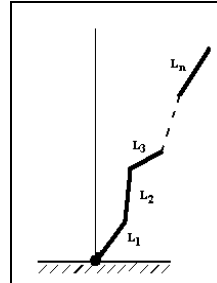
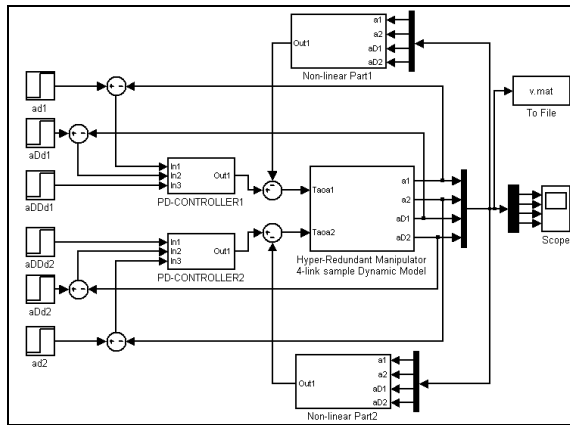
- [1]. V. V. Anderson and R. C. Horn, "Tensor-arm Manipulator design," ASME Trans., pp. 1-12, 1967.
- [2]. M. Ivanescu and I. Badea, "Dynamic control for a tentacle manipulator," in Proc. Int. Conf. on Robotics and Factories of the Future, Dec. 4-7, 1984, USA, pp. 317-328.
- [3] Pettinato Stephanou, "Manipulability and stability of a tentacle based robot manipulator," Proc. IEEE Int. Conf. Robotics Automat. 1989, pp. 458-463.
- [4]. F. Naccarato and P. C. Hughes, "An inverse kinematics algorithm for a highly redundant variable-geometry-truss manipulator," in Proc. 3rd Annual Conf. Aerospace Computational Control, D. E. Bernard and G. K. Man, Eds. Oxnard, CA: JPL Pub., 89-45, Dec. 15, 1989.
- [5]. A. Morecki, et al., "Robotic system Elephant trunk type elastic manipulator combined with a quadruped walking machine," in Proc. Of Second Int. Conf. on Robotics and Factories of the Future, San Diego, July 1987, pp. 649-656.
- [6]. S. Hirose and Y. Umetani, "Kinematic control of active cord mechanism with tactile sensors," in Proc. 2nd Int. CISM-IFT Symp. on Theory and Practice of Robots and Manipulators, pp. 241-252, 1976.
- [7]. G. S. Chirikjian, and J. W. Burdick, "An obstacle avoidance algorithm for hyper-redundant manipulators," in Proc. IEEE Int. Conf. Robotics Automat., Cincinnati, OH, May 14-17, 1990.
- [8] Klein- Huang, "Review of the pseudoinverse for control of kinematically redundant manipulators," IEEE Trans. Syst. Man Cyber., March, 1983.
- [9]. G. S. Chirikjian, "Hyper-redundant manipulator dynamics: A continuum approximation," Advanced Robotics, vol. 9, no. 3, pp. 217-243, 1995.
- [10] G. S. Chirikjian and J. W. Burdick, "A geometric approach to hyper-redundant manipulator kinematics," ASME Journal of Mechanical Design, vol. 114, Dec, pp. 580-585, 1992.
- [11]. S. Ma, M. Watanabe, and H. Kondo, "Dynamic control of curve-constrained hyper-redundant Manipulators," in Proc. IEEE Int. Symp. on Computational Intelligence in robotics and automation, July 29-August 1, Banff, Alberta,
- [12]. H. Seraji, "Configuration control of redundant manipulators: Theory and implementation," IEEE Trans. Robotics, vol. 5, no. 4, pp. 472-490, 1989.
- [13]. S. Ma, M. Watanabe, and H. Kondo, "Dynamic control of curve-constrained hyper-redundant Manipulators," in Proc. IEEE Int. Symp. on Computational Intelligence in robotics and automation, July 29-August 1, Banff, Alberta, Canada pp. 83-88. 2001.

موجود برای آونگ وارون دوگانه و محاسبه مجدد ضرایب کنترلی با روش جایدهی قطب می‌توان نتایج را مشاهده نمود. همانطور که در شکل (۵) دیده می‌شود سیستم در پاسخ به ورودی پله واحد نتایج مطلوبی را نشان می‌دهد. پاسخ سیستم موردنظر به ورودی‌های شیب واحد و موج سینوسی نیز به ترتیب در شکل‌های (۶) و (۷) آورده شده‌اند. با فرض اینکه جرم هر رابط برابر واحد و طول آن نیز برابر طول واحد باشد، ضرایب کنترل‌کننده مناسب با توجه به پایداری سیستم $K_p = 800, K_v = 60$ خواهند بود. پاسخ به ورودی پله، شیب و سینوسی، کارایی روش را در تعقیب این مسیرها نشان می‌دهد هر چند لزوماً این مقادیر گین بهینه نیستند. بحث طرح کنترلر بهینه در مورد این سیستم غیرخطی پیچیده‌تر است و در این مقاله با روشی که ارائه شد تنها امکان استفاده از کاهش دادن مرتبه سیستم دارای ابرافزونی مورد مطالعه قرار گرفت. در واقع تشابه معادلات دینامیکی این نوع بازوی مکانیکی با بازوی مکانیکی دو درجه آزادی انگیزه استفاده از تجربیات طراحی کنترل‌کننده‌های بازوی دو درجه آزادی را بوجود آورد و در قالب یک مثال کارایی آن نشان داده شد.

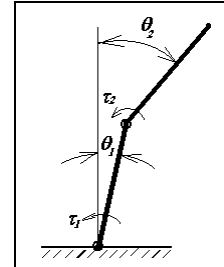
جمع‌بندی

همانطور که گفته‌شد، کنترل بازوهای ابرافزونه‌ای بدون اعمال قیود مناسب بر دینامیک سیستم کار ساده‌ای نیست ولی به علت جایگاه وسیع این سیستمها در صنعت و فناوری امروز توجه به آنها روز به روز بیشتر می‌شود. در این مقاله یک روش کنترل دینامیک با اعمال قیدهای مودال برای دستیابی به کنترل زمان حقیقی بازوهای ابرافزونه‌ای معرفی گردید. در ابتدا سینماتیک مسئله بر پایه بیان منحنی قامت مورد تحلیل قرار گرفت و سپس دینامیک مسئله در فضای موقعیت فرموله گردید. سپس اعمال نگرش مودال به عنوان افزودن قیدی به دینامیک سیستم مورد بررسی قرار گرفت و چون در این مقاله بازو تحت دو مد محدود گردیده‌است و به علت تشابه معادلات دینامیک بازوی ابرافزونه‌ای تحت دو مد با دینامیک بازو با دو رابط، روش اعمال کنترل‌کننده تعقیب مسیر برای آونگ وارون دوگانه با استفاده از نگرش مدل پایه بطور مشابه برای بازوی ابرافزونه‌ای با چهار رابط در فضای دوبعدی اعمال

[14]. Y.S.Lin, J.X.Qian, A.K.Xue and J.H.Wang, "Simple Multi-PD Control Algorithm of Double Inverted Pendulum," in Proc. IEEE Tencon Conf. pp.1428-1431, 2002

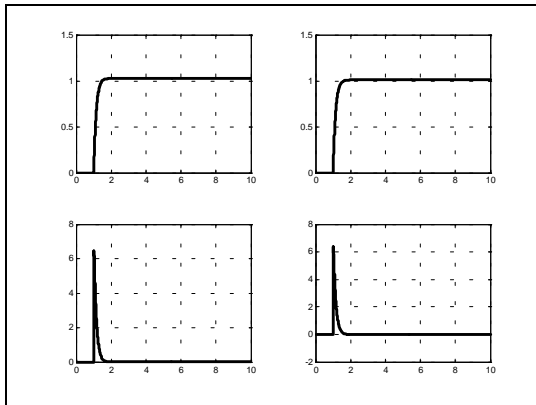


شکل ۲- بازوی ابرافزونه‌ای

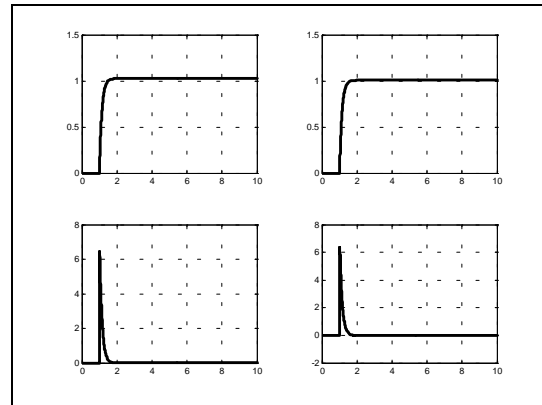


شکل ۱- آونگ وارون دوگانه

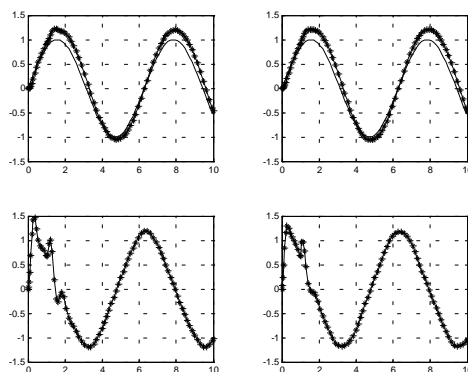
شکل ۳- نمودار بلوکی شبیه‌سازی شده در MATLAB



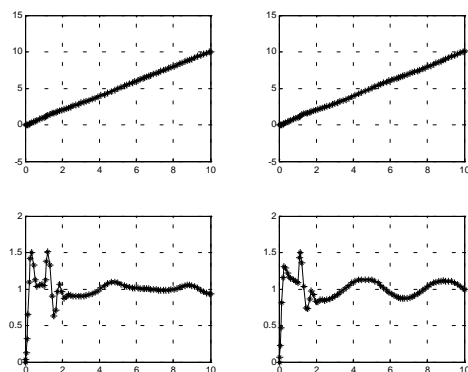
شکل ۵- پاسخ بازو با چهار رابط به ورودی پله واحد (دو نمودار بالا θ_1, θ_2 و دو نمودار پایین $\dot{\theta}_1, \dot{\theta}_2$)



شکل ۴- پاسخ آونگ وارون دوگانه به ورودی پله واحد (دو نمودار بالا θ_1, θ_2 و دو نمودار پایین $\dot{\theta}_1, \dot{\theta}_2$)



شکل ۷- پاسخ بازو با چهار رابط به ورودی سینوسی (دو نمودار بالا θ_1, θ_2 و دو نمودار پایین $\dot{\theta}_1, \dot{\theta}_2$)



شکل ۶- پاسخ بازو با چهار رابط به ورودی شیب (دو نمودار بالا θ_1, θ_2 و دو نمودار پایین $\dot{\theta}_1, \dot{\theta}_2$)